

典型零件的电解加工与装备

内部資料 注意保存

第一机械工业部技术情报所

1967.2



前　　言

电解加工是六十年代的新技术。它在我国的出现，生动地说明了，我国机械工业广大职工，高举毛泽东思想伟大红旗，长期坚持活学活用毛主席著作的结果。只有在精神战线上打了胜仗，才能保证物质战线上取得胜利。用毛泽东思想统帅一切，无往而不胜。它的出现是机械加工工艺的一个革命；是实现多、快、好、省加工机件的有效途径，对保证机械工业产品发展，提高产品质量起着重要作用。

为了更快、更好地推广这一新技术，我们要坚决响应林彪同志的号召，坚持在一切工作中用毛泽东思想挂帅，努力活学活用毛主席著作，在精神战线上夺取更大胜利。同时希各厂应有计划地采取措施，凡已采用了这项新技术的应进一步研究扩大使用范围，未采用而又适合采用的应积极推广，夺取物质战线上的胜利。

现将去年十二月在天津召开的电解加工经验交流会议部分资料汇集成册，希望各有关部门用“一分为二”的观点来学习和应用这些经验，使之不断有所改进和提高。

一机部技术情报所

毛主席語录

人们的社会存在，决定人们的思想。而代表先进阶级的正确思想，一旦被群众掌握，就会变成改造社会、改造世界的物质力量。

“人的正确思想是从那里来的？”



目 录

1. 矩形花鍵孔电解加工.....国营內蒙一机厂 (1)
2. 摆线齿輪的电解加工.....天津第一机械局第一半工半讀技工学校 (40)
3. 钢板保持架电抛光加工.....瓦房店軸承厂 (44)
4. 冷軋管軋槽孔型的电解切削模拟試驗.....中捷友誼厂 (51)
5. 模具钢电解加工性能的研究.....西安机器制造厂 (57)
6. 成型孔电解加工.....西安机器制造厂 (65)
7. 电解加工小結.....西安开关厂 (75)
8. 典型零件的电解切削及尺寸控制.....湘江机器厂 (82)
9. 叶片电解加工机床設計總結.....黎明机械厂 (88)
10. 关于电解加工电解液的选择.....上海机器制造工艺研究所 (98)
11. TZ50X型增压器涡輪叶片电解成型加工.....新中动力机器厂 (106)
12. 几种合金材料的电解加工电解液选择.....国营黎明机械厂 (121)
13. 电解加工模具總結.....国营黎明机械厂 (132)
14. 电解套料加工試驗.....国营兴华电器厂 (146)
15. 涡輪机叶片电解成型加工.....上海汽輪机厂、一机部第二設計院 (151)
16. 筒形件盲孔电解加工.....伟建机器厂 (169)
17. 半粘固性可剥塑料在电解加工中的应用.....伟建机器厂 (177)
18. 納凝剂靜止沉降試驗.....精密机械研究所、伟建机器厂 (184)
19. 电解加工的应用.....松陵机械厂 (188)
20. 电解切削小結.....上海船舶修造厂 (203)
21. 組合阴极电解加工自动控制.....望江机器厂 (207)



矩形花鍵孔电解加工

前 言

我厂产品中带有矩形花鍵孔的零件最普遍的一种規格为 $\phi 72^{+0.03} \times \phi 78^{+0.8} \times 12 \times 10$, (內徑 \times 外徑 \times 鍵寬 \times 鍵數), 鍵寬精度有 $12^{+0.50}_{-0.03}$; $12^{+0.20}_{-0.03}$; $12^{+0.12}_{-0.03}$ 等三种。最大的一种規格为 $\phi 112^{+0.07} \times \phi 120^{+1} \times 18^{+0.15}_{-0.03} \times 10$ 。

花鍵孔的加工, 在我厂主要是用拉刀拉削, 拉削工艺分为渗炭淬火前的粗精拉及渗炭淬火后的校正拉削(花鍵內孔镀銅保护)。这种拉削工艺, 生产效率是比较高的, 但由于拉刀是用昂贵的高速钢制成, 其加工工艺、维护保养等要求都很高, 加之我厂拉刀品种繁多, 使制造技术过不了关, 造成长期不能满足生产需要, 影响生产力进一步提高, 生产成本增加等不利条件, 为解决这一矛盾, 我們从64年10月开始了电解加工試驗工作。

花鍵孔采用电解加工工艺代替拉削工艺, 具有多方面的优越性。如工具是以价廉易制的, 且无磨损的阴极头代替复杂而昂贵的拉刀; 加工可在热处理后一次成型。不受材料硬度或韧性的限制, 缩短生产周期; 表面光洁度較拉削高, 可达 $\nabla\nabla\nabla 8$; 加工后零件无变形等。因而具有較大的技术经济效果。

我厂花鍵孔电解加工的試驗研究。共经历了三个阶段, 进行了221次試驗。

第一阶段是針對 $\phi 72 \times \phi 78 \times 12^{+0.50}_{-0.03} \times 10$ 花鍵孔, 学习弟兄单位的已有经验, 采用三面进給阴极, 进行探索性試驗, 初步掌握了一些規律, 精度达到了产品設計要求。

第二阶段是針對高精度大規格的花鍵, 进行了单鍵試驗, 力图通过不同结构形或的阴极, 获得加工高精度及大規格花鍵孔的阴极结构。

第三阶段是根据我們已掌握的一些規律和单鍵試驗经验, 設計不同結構的阴极, 結合自动控制, 进行了較全面的試驗, 精度基本达到了产品設計要求。

到目前为止, 低精度等級的花鍵已进行了小批試生产, 一般精度等級的花鍵已基本具备小批試生产的条件, 高精度大規格的花鍵已接近达到产品設計要求, 自动控制方面已初步取得一些经验, 現将我們在試驗中的一些点滴体会, 介紹如下:

一、花鍵阴极設計与制造

1. 設計

(1) 阴极結構

花鍵阴极結構形式設計計算步驟基本上按西安机器制造厂所介紹的資料进行。实验参数(如移动速度, 工作間隙, 电流密度等)是根据我們的試驗条件: 电机容量, 过滤及单鍵試驗情况而确定。阴极材料为黃銅, 但一般銅制阴极经几次試驗后由于其机械强度較低, 又处在高速的电解液冲刷条件下工作, 不耐磨。同时每次工作后阴极表面均需清擦, 所以尖角部位极易倒圓。因此加工出零件圆角半径一直很大, 影响綜合量規順利通过。为了解

决这一矛盾经多次试验分析我們对三面进給阴极加上了不锈钢的校正片及每齿带有修正尖角齿的修正圈組成装配式花鍵阴极。如图1所示。

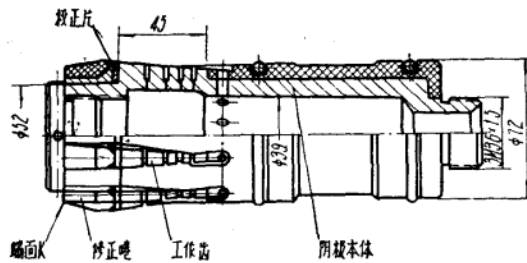
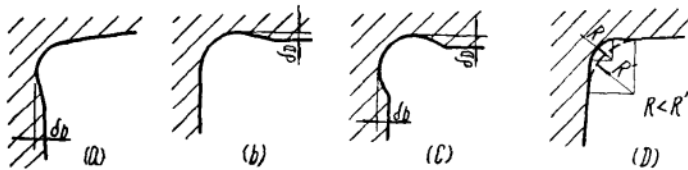


图1 花键阴极

試驗表明，在同样的加工間隙下，(0.35~0.40 毫米) 圓角半徑減少約 2~2.5倍 (最小为 0.35 毫米) 尖角齿是沿工作齿的稜边延伸的，或小于工作齿半角，如尖角齿长度过长，侧面傾角过大，(即大于工作齿半角) 或由于保管不善，触角尖尾碰弯，挤平等，则在加工所得鍵槽的尖角处均发生切入現

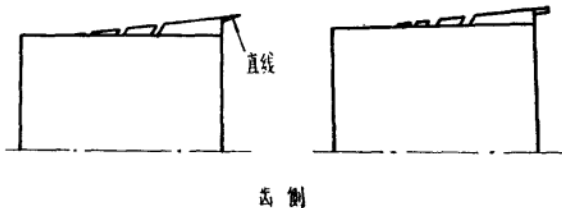
象，呈退力槽状态。如图 2、b、C。較合理的尖角齿是頂面呈三角形。侧面呈条状或三角形。如图 3 則可加工出圓滑过渡的理想状态。



δb—鍵側切入量

δD—花鍵外徑切入量

图 2



五

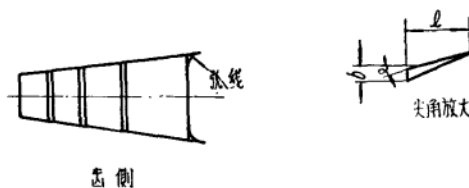


图3 圆角修正

合理的尖角齿尺寸与工作间隙有关，工作间隙愈小则对尖角齿的修正作用愈敏感，所以加工高精度的花键孔，若尺寸选择不当，则严重影响键侧的平直性。

从試驗結果分析触角長度 $l = \frac{0.3\angle_b}{t_g a}$ 毫米

触角宽度 $B = 0.4 \times \angle_b$ 毫米

式中 $A-B$ 键侧工作间隙 (毫米)

α — 工作齿半角 (度)

尖角齿的作用在于对尖角进行补充加工，使尖角外移如图 2 d 所示，显然花键综合量規則能容易通过。

該阴极有如下特点：

(1) 装配式：若阴极因某种原因工作齿大端损坏后，可更换校正片避免整个阴极报废。

(2) 修正圈，每键有两个尖角齿，以修正花键圆角，减少圆角半径。校正片及修正圈均为不锈钢材料，由于机械强度较高，耐磨，故阴极寿命长，若经淬火后磨制则更为理想。

为了寻求加工大型高精度的花键孔的较合适阴极结构、工作间隙及试验参数等，我們拟定三种单键試驗方案。

第一方案：叠片式阴极（大锥度不锈钢）图 4。

第二方案：銅制阴极图 5。

第三方案：双锥度阴极（即在第二方案工作齿大端再加大锥度之不锈钢体所組成。两锥度間以增液槽形式增液如图 6。

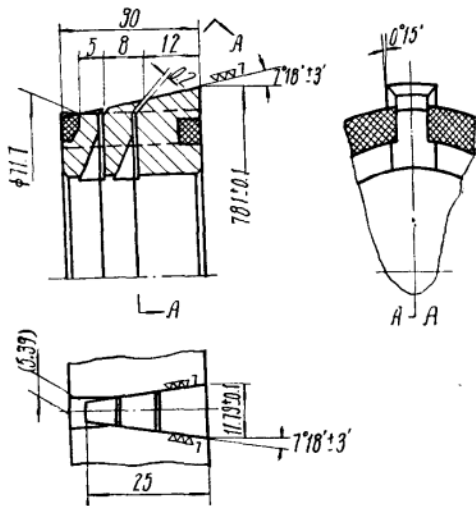


图 4 叠片式阴极

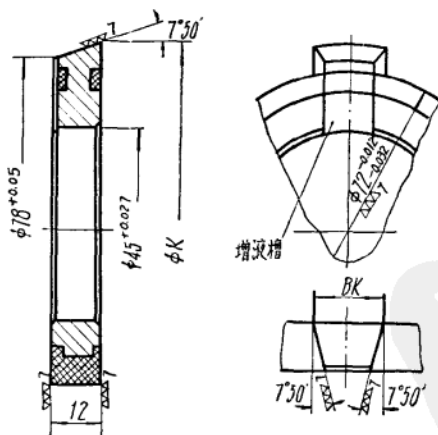


图 5 銅制阴极

经过67次的反复試驗在我們的試驗条件下曾达到的极限数据，及稳定参数如表 1，2，3 所示。

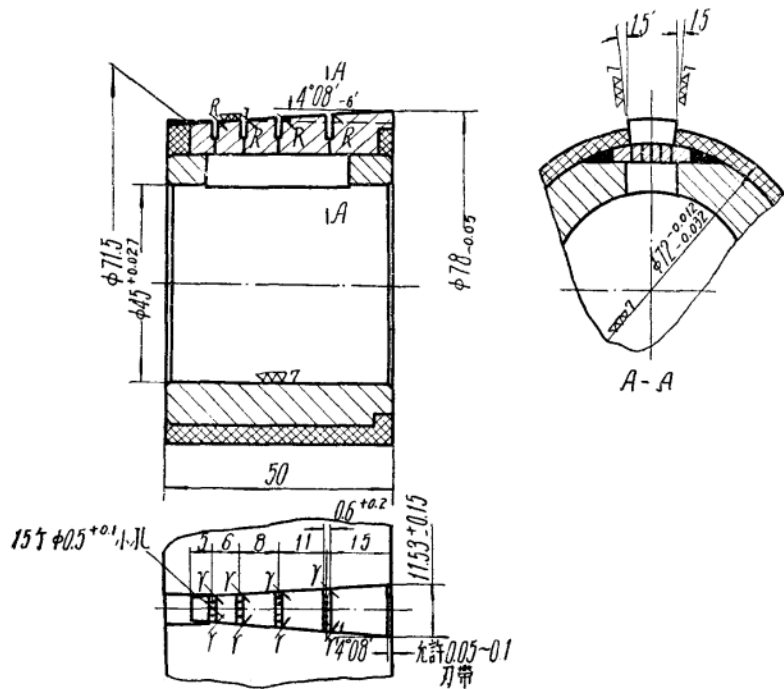


图6 双锥阴极

表 1 最小間隙和最小圓角半徑值

参数 方案	极限参数							备注
	△b	R	S	Di	V	P	r	
第一方案	0.135	0.3	0.5	67.6	7.3	12—15	1.11	
第二方案	0.23	0.5	10.1	38	5.5	15—20	1.11	
第三方案	0.15	0.4	10.1	68	7.5	15—20	1.11	

表2 最高生产率和最大电流密度

参数 方案	极限参数		试验条件					备注
	Vc	Di	V	P	△b	R	r	
第一方案	12.84	88	9.6	15—24.5	0.2	0.6	1.11	
第二方案	26	104	13	15—20	0.36	0.7	1.11	
第三方案	13.58	93	11	22	0.25	/	1.11	

表3 单键试验稳定参数

参数 方案	极限参数		试验条件					备注
	Δb	R	Vc	Di	V	P	r	
第一方案	0.2—0.25	0.45—0.5	10.5	66	7.5	20	1.11	
第二方案	0.3	0.65	12.84	50	7.5	20	1.11	
第三方案	0.25	0.5	10.1	68	7	20	1.11	

表中： $\angle b$ —侧面工作间隙（毫米）

R—圆角半径。(毫米)

V_c —移动速度, (毫米/分)

Di—电流密度(安/平方厘米)

V—工作电压(伏)

P —工作液压 (公斤/平方厘米)

r —电解液电阻率(欧—厘米)

从表中可以看出，提高复制精度缩小工作间隙之阴极结构，第一、三方案较为优越；从提高生产率的观点出发，第二方案为佳。但总的认为叠片式之三面进给组装阴极具有如下优点：

(1) 以不锈钢代替黄铜制之阴极在制造过程中易保持清稜尖角，经淬火后耐磨，使用寿命长。

(2) 以增液槽之形式代替增液孔流場分布均匀，黑膜附着力較小，且解決钻小孔困難問題。

(3) 錐度較大，可縮短陰極工作齒長度，在工作壓力相同的情況下可以縮小工作間

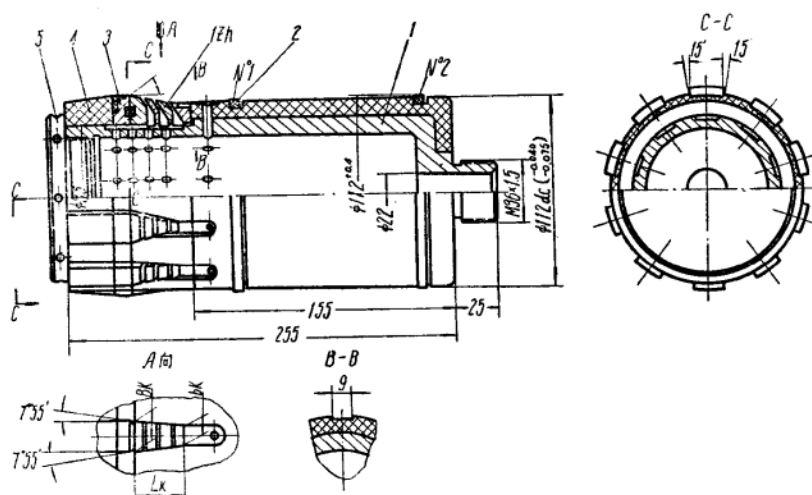


图 7

花键阴极 ($\phi 112 \times 120 \times 18 \times 10$)

件号	名称	数量	材料
1Zn	工作齿套	1	不锈钢环氧树脂
1	阴极体	1	黄铜
2	密封圈	2	中硬橡皮
3	修整圈	1	不锈钢
4	整流套	1	环氧树脂
5	螺塞	1	黄铜(或不锈钢)

隙，提高复制性。

(4) 便于修复，便于精确检查阴极齿形。

(5) 装配式阴极更适于试验阶段，灵活性大。

其缺点是：

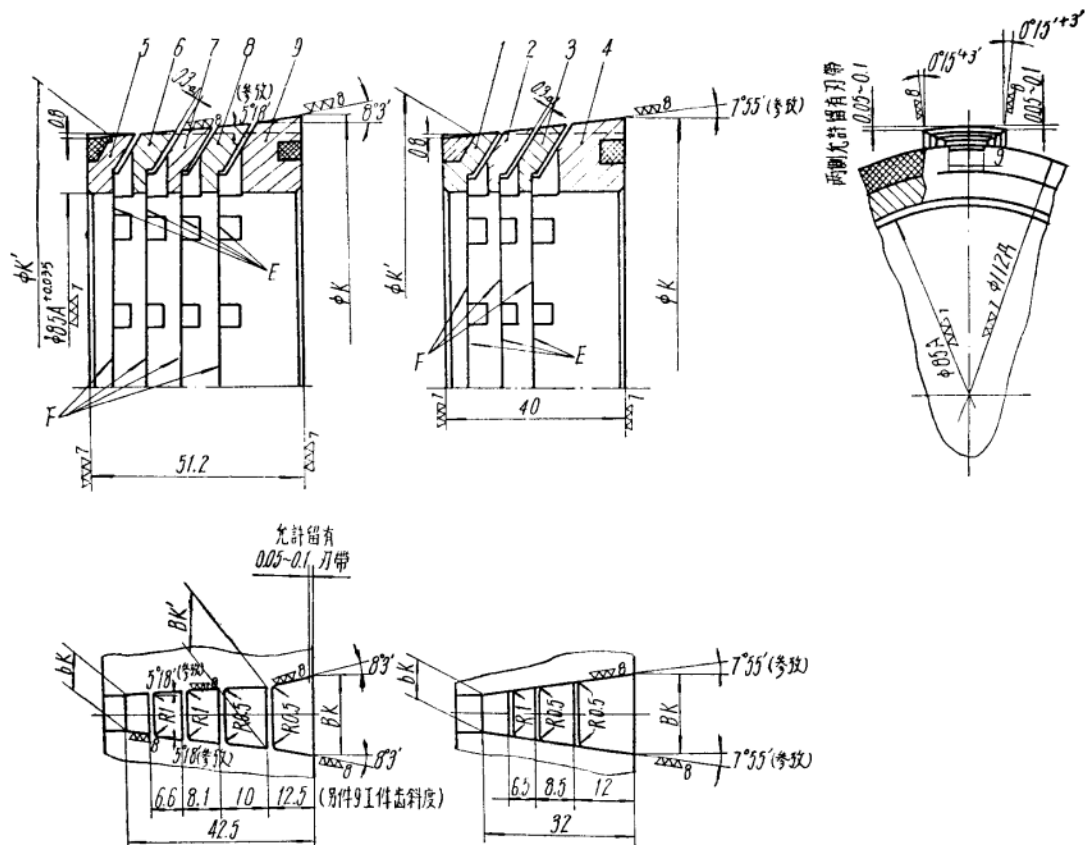


图8

工 作 齿 套

序 号	名 称	数 量	材 料
1	工作齿(一)	1	不锈钢
2	工作齿(二)	1	不锈钢
3	工作齿(三)	1	不锈钢
4	工作齿(四)	1	不锈钢
5	工作齿(五)	1	不锈钢
6	工作齿(六)	1	不锈钢
7	工作齿(七)	1	不锈钢
8	工作齿(八)	1	不锈钢
9	工作齿(九)	1	不锈钢

(1) 制造精度要求較高。

(2) 由于錐度大，生产率的提高受到限制。

(3) 工件內孔有腐蝕現象。

叠片式三面进給組裝阴极如图 7、8 所示，而銅制阴极的特点。（小的齿升角）：

(1) 生产率較高，

(2) 制造工艺較叠片式簡單，

(3) 由于是整体結構所以不产生內孔腐蝕。

缺点是：

(1) 工作齿不易保持清稜尖角。

(2) 钻小孔較困难。

(3) 无法检查齿形。

2. 設計中应考慮的几个問題：

(1) 定位基准

銅制阴极以 $\phi 39$ 毫米內孔及端面 R 定位（參見图 1）。

叠片式阴极諸工作齿以 $\phi 85$ 毫米內孔及端面定位，这样可借修磨端面 E 来調整增液槽縫隙大小达圖紙要求（參見图 7，8）

(2) 从结构上考虑应保证所浇注之环氧树脂，联成封閉整体，这样不易开裂，环氧树脂粘結表面不宜过于光洁应在 $\nabla\nabla_5$ 以下，如图 9 之单鍵阴极经几次試驗后沿 A 处发生涨裂現象，改为图 4 结构后則很牢靠。

(3) 导电：工作齿套內孔与阴极体 $\phi 85$ 毫米应密配以保证导电性良好，阴极与阴极杆現采用 $3M36 \times 1.5$ 之細牙螺紋連接端面靠緊可滿足导电要求（參看图 7）。

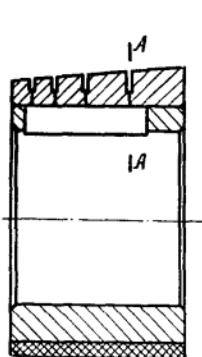


图9

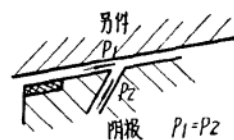
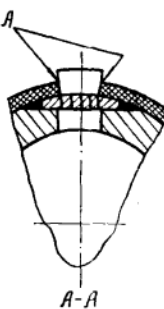


图10

(4) 除按設計計算来确定增液槽位置外，增液槽之长短縫隙大小应加以考虑，尽量作到在增液槽出口处之压力相等（即通过工作齿面之压力等于通过增液槽处之压力）。如图10所示。

(5) 增液槽为斜面直通式，便于清除堵塞于增液槽处之杂质。

(6) 精度要求

a. 鍵寬測量差 ≤ 0.01 毫米，力求一致。

- b 工作齿大端对内孔（或导向部分）之摆差 ≤ 0.02 毫米，否则加工后键槽深浅不一。
c 阴极齿之积累误差应为产品公差之 $\frac{1}{2}$ ，误差过大则对控制精度提出更高要求同时影响综合量规顺利通过。

d 装配式阴极相互结合面、平行度及垂直度等均应提出要求，否则影响组装质量。

(7) 密封圈过盈量，当第一道密封圈（参看图7）在工件内孔起密封作用时则过盈量以 $0.05\sim 0.13$ 毫米为宜，过大，则当它退出工件时，由于工件与阴极产生相对移动，此时电压突然下降，电流上升，严重时将发生短路，轻微的相当于键槽表面均出现凸起印痕。第二道密封圈过盈量以 $0.3\sim 0.4$ 毫米为宜。（指矩形截面的密封圈）

一般带花键孔之零件长度较短所以从结构上考虑改正在夹具套筒内密封则无此问题，图11—b所示。

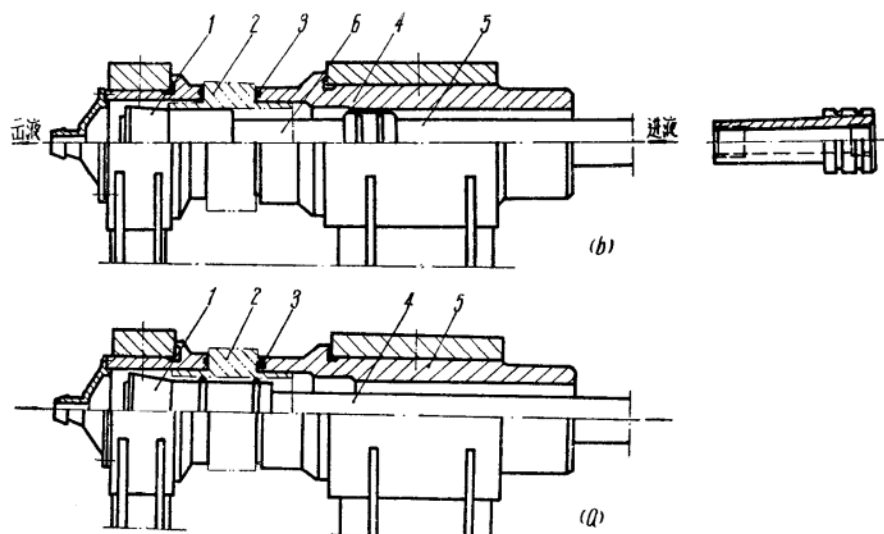


图11

1.阴极， 2.零件， 3.密封圈， 4.定位套筒， 5.阴极杆， 6.导向杆，
(a) 以零件内孔密封， (b) 以夹具套筒内孔密封。

2. 制造

1. 铜制阴极制造工艺（见图1）

单位：毫米

序号	工 序 内 容	机床型号
1	备料	
2	车全部内径 $\phi 39$ 留磨量 $0.25\sim 0.35$ 毫米 $\phi 52$, $\phi 78$ 锥度及 $\phi 55$ 留磨量 $0.7\sim 0.8$ 毫米 45 ± 0.1 毫米端面留磨量 $0.5\sim 0.6$ 毫米 $\phi 52+0.2$ 之槽。	1A62 内孔磨床
3	磨内孔 $\phi 39$, 同时靠平 $\phi 52$ 之端面	
4	装心轴固紧, 划出花键线 (专用心轴)	

序号	工 序 内 容	机床型号
5	铣花键键宽留磨量0.8—1	x62W
6	钻Φ0.5的喷水孔	
7	磨外圆Φ52、Φ55、45端面及外锥体斜度（工作齿大端留0.2毫米磨量）	M115A
8	插喷水孔（Φ4A）	2450
9	磨锥花键（按Φ4A磨量键宽尺寸）键宽留0.03毫米的修量。	371
10	研锥花键	
11	检验	
12	浇铸环氧树脂（保护孔及增液槽）	
13	车环氧树脂外圆（留磨量0.5—0.6毫米）车螺纹3M36×1.5切封密圆槽	1A62
14	磨环氧树脂外圆	M115A
15	钻Φ4喷水孔及修成0.5R之圆角	
16	磨花键底径	
17	鉗工修花键底径及通水槽	
18	磨工作齿大端	M115A
19	组合装配	
20	最后检验	

注：①在371上磨锥花键，键侧需要一套附具，具有可旋转的底盘，其上固定光学分度头，顶尖座及打砂轮机构。
 ②在光学分度头上鉗工修研花键键侧。

2. 工作齿套制造工艺（见图8）以单锥阴极为例：

序号	工 序 内 容	设 备
1	备料	
2	锻造毛坯	
3	烟火	
4	车各部分，留磨量	1A62
5	分度头精划线（诸工作齿组配一起）	
6	铣花键及其内径，键宽留磨量	x62W
7	铣增液槽	x62W
8	淬火	
9	磨Φ85A内径，留研量0.01—0.02毫米靠定位面E°	Si
10	磨120°内、外锥面（专用心轴）	M5M
11	磨另一端面调整增液槽间隙	372B
12	研Φ85A孔	
13	装配1、2、3、4工作齿于心轴上（专用心轴）	
14	磨外径ΦK靠大小端端面（大端留0.2毫米）及7°55'外锥面	M115A
15	磨锥花键，宽度留研量0.02毫米	花键磨床或371
16	研成BK达总图要求	
17	检验	光学分度头
18	浇注环氧树脂（保护增液槽）	
19	车环氧树脂，留磨量0.8—1毫米	1A62
20	磨Φ112D靠大小端面之环氧树脂（工作齿大端留0.2毫米）	M115A
21	磨花键底径（两侧留鉗工修量）	花键磨床或371
22	鉗工修刮底径，修键喷水槽	
23	磨工作齿大端	372B
24	研两端面除尽毛刺	
25	最后检验	

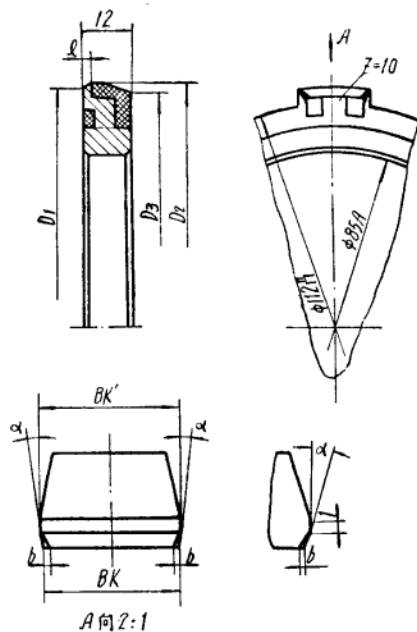


图12 修正圈

3. 修正圈制造工艺 (图12)

序号	工 序 内 容	设 备
1	备料	
2	锻造毛坯	
3	烟火	1A62
4	车全部留磨量	
5	分度头精划线	
6	銑花键及其内径，键宽留磨量	×62W
7	磨内孔φ85A留研量同时靠一端面	Si
8	磨另一端面	372B
9	研磨内孔，与心轴精密配合	
10	研磨两端面	
11	磨D ₂ 、D ₃ 外圆及D ₁ 锥面	M115A
12	磨键宽3°50侧面	花键磨床或371
13	研键侧	
14	检验	
15	鉗工修b×1触角	
16	浇注环氧树脂	
17	磨两端面，及D ₂ 外圆、D ₁ D ₃ 外锥	M115A
18	磨花键底径	花键磨床或371
19	修花键底径	
20	最后检验	

4. 密封圈（矩形截面）制造工艺：

密封圈可用車制，为了获得光滑表面可采用磨制。毛坯为中等硬度的橡皮，首先用划規下料，內径比密封槽小5~6毫米相应划出外径，留磨量，修去飞边，然后套在专用心軸上（直径与密封槽相同）或直接套在阴极密封槽内，先磨密封圈內径（翻边以外徑定位）后磨外徑，保证尺寸要求，自由状态时內径較密封槽小3~4毫米較为合适，圈的寬度装配后比阴极槽寬尺寸小0.5毫米为宜，外徑两侧磨倒圓以免使用过程中翻邊卡住。

5. 制造中应注意的问题（参看图1—1、1—8）。

（1）定位基准：

研φ85A內孔是一道不可忽视工序，否则将直接影响导电性能及装配质量。內孔研磨后应装在专用心軸上待全部工序加工完毕后可卸下心軸。

对于加工整体銅制阴极亦应如此，以保证摆差要求。

（2）切槽钻小孔：（φ72×φ78銅制阴极）

該工序应在浇注环氧树脂之前进行，目的是钻小孔时便于观察，切槽时出现飞边便于修銼。

（3）精磨是取决于齿形精度的关键，所以，应保证积累誤差及鍵側的直线性。如果誤差較大，则全由鉗工修研保证，则所用的工时較多，而且往往會把鍵側修成腰鼓形，如图13将直接影响成型精度。

（4）大端阴极齿之光洁度应在▽▽▽以上，鍵側应保持直线性，不得呈现鋸齿形，否则将破坏鍵形精度。

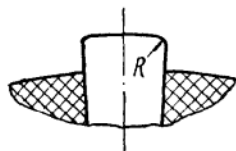


图13 鼓形齿

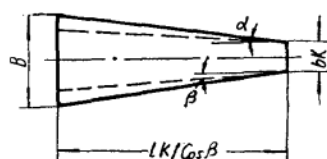


图14

$B = B_K + 2h_K$
 B_K ——工作齿小端宽度
 B_K ——工作齿大端宽度
 L_K ——工作齿长度
 h_K ——工作齿高度
 α ——工作齿半角
 β ——工作齿半锥角

（5）工作齿的保护，工作齿精磨后，浇注环氧树脂前我們采用絕緣紙剪成如图14所示，絕緣紙片貼在工作齿上。实践证明效果良好，以免修工作齿时损伤工作齿面。

（6）增液槽或增液孔的保护，可用浆糊封位，采用冷硬化环氧树脂浇注工艺，待硬化后将工作齿套浸入冷水中，使其軟化，然后以机械方法消除为宜。

（7）环氧树脂浇注除按一般資料介紹的经验外，为考虑加工方便，防止切片剧烈磨损，填料可不采用 Al_2O_3 而完全用滑石粉取代

之。

（8）鉗工修刮底径，应做到底径与鍵側交接处清根，宁願略为高出，不許凹下，这样可以借試拉花鍵孔，检查鍵槽有否出現毛刺而对照被加工零件加以修正，而工作齿小端許可有退刀槽如图15以改善流場分布情况。

（9）鉗工修銼、修正圈之尖角齿时，非工作面应銼深至少大于0.5毫米，这样来粘

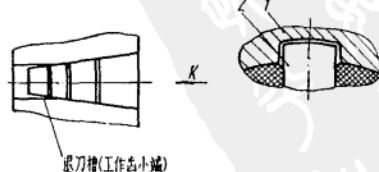


图15 1——被加工零件 2——阴极齿大端

結環氧樹脂避免起皮脫落。

二、工 藝 試 驗

1. 試驗條件及產品技術要求：

(1) 电源：直流电源采用丁 ZH5000/2500 型直流电机組一套，电流为 5000/2500 安培；电压为 6 /12伏特；容量为30千瓦。

(2) 机床設備：改装 C630 普通車床一台，在机床導軌上按不同零件配有試驗夾具。

(3) 液壓泵及管路系統：耐蝕齒輪泵一台，壓力25公斤/厘米²；流量 200升/分。電解液槽為鋼板焊接而成，內衬鉛皮，容積1.5米³一台，沉淀槽 2 米³一台。管路系統進水口裝有300毫米圓形過濾網，管路為耐壓30公斤/厘米²之橡皮管，所有接頭均為銅制。

(4) 产品材料：

a 20X2 H₄A, H_{RC} 35—45

b 38XC H_{RC} 28—36

(5) 产品技术要求：花鍵規格有两种即：

$\phi 72 + 0.03 \times \phi 78 + 0.8 \times 12 \times 10$

$\phi 112 + 0.07 \times \phi 120 + 1 \times 18 \times 10$

鍵寬精度為： $12 + 0.50_{-0.03}$; $12 + 0.20_{-0.03}$; $12 + 0.12_{-0.03}$; $18 + 0.15_{-0.03}$ 。

技术条件：同一鍵寬測量差不大于0.03毫米。

相邻鍵寬測量差不大于0.05毫米。

等分度以綜合量規檢驗。

2. 工 藝 參 數 選 擇：

(1) 液壓參量：

電解液成分和溫度：目前我們採用濃度為14—18%的食鹽水溶液。溫度在20°C時，比重為1.10—1.13。克重/毫米³

工作溫度：我廠目前使用的電解液槽，沒有冷卻和加熱裝置，同時液槽容積較小，所以一次試驗的溫升較大，可達4—8°C。起始液溫為20—40°C。

工作壓力：對壓力的要求，主要是保證工作間隙中獲得足夠的流速，一般當陰極工作齒較長和斜度較大，工作間隙較小，電流密度較大時，要求壓力較高。目前我們採用10—25公斤/厘米²，有時達28公斤/厘米²。

流速：工作間隙中的流速和工作間隙的大小及電流密度的大小有關。工作間隙愈小及電流密度愈大時，要求的流速也愈高。在我們的試驗中曾用過20—65米/秒。當工作間隙為0.3毫米時，流速為30—40米/秒。

流速的測量是通過測量流量（用水桶計時法）後，按工作間隙過水橫斷面積計算得出，計算按下列公式：

$$v_水 = \frac{Q}{6S\Delta} \quad (1)$$

式中 $v_水$ ——電解液在工作間隙中的流速（米/秒）

Q——通過工作間隙的流量（升/分）

SΔ——工作間隙的過水橫斷面積（厘米²）

$$S = f \cdot \Delta \cdot 10^{-2} \quad (2)$$

式中： Δ —— 工作间隙（毫米）

f —— 工作间隙过水横断面之总长度，矩形花键为：

$$f = Z (B_A + 2h_K) \quad (3)$$

式中： Z —— 花键孔键槽数

B_A —— 花键孔键槽宽度（毫米）

h_K —— 花键阴极齿高（毫米）

以上符号詳（見圖16）

（2）工作间隙、电流密度和进給速度等参数：

这些参数我們基本上是按西安机器制造厂的经验选用的，但在实际試驗中根据我們的具体情况，又进行了一些試驗和适当的选择。在单键試驗中，工作间隙最小为0.135毫米；电流密度最大为104安/厘米²，机床进給速度最大为26毫米/分。在花键孔試驗中，工作间隙最小达到0.23毫米；但这些参数仅为在我厂目前的試驗条件下的极限参数，不能直接用于实际試驗中，在我們的实际試驗中所采用的参数范围为：

侧面工作间隙=0.25—0.40毫米，常用0.28—0.35毫米。

阴极电流密度 $D_i = 35—60$ 安/厘米²，常用45—55安/厘米²。

机床进給速度 $V_c = 6—15$ 毫米/分

（3）工作电压的确定：

为了减少线路压降对工作电压的影响，我們把电压表接于工件和阴极的附近（見圖17V 2），按現在这种接法，估計在2500安培时仍有0.3伏的压降。

阴极全进入工件时的工作电压 U ，在考慮电解液起始溫度后，其計算方法如下：

$$U = D_i \Delta \cdot \gamma \cdot \left[1 + \frac{\alpha}{100} (t - t_0) \right] \quad (4)$$

式中： γ 电解液在加工前的电阻率（欧姆—厘米）

α 电解液的溫度系数（%）

t 电解液的实际溫度（加工前）（°C）

t_0 当电阻率为 γ 时的溫度（°C）

α 和 γ 值按电解液浓度（比重）和溫度确定，參看表4。

表 4

NaCl (%)		10	15	20
比 重	10°C时	1.07419	1.11273	1.15254
	20°C时	1.07068	1.10853	1.14774
	γ (欧姆—厘米)	8.25	6.09	5.1
	α (%)	2.14	2.12	2.16

为便于計算，我們常采用在液溫26°C，比重1.11克重/毫米³时， $\gamma = 5$ 欧姆—厘米。按

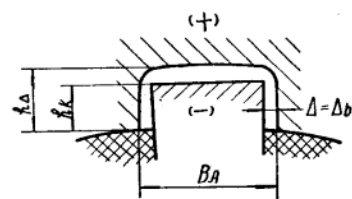


图16